

بررسی اثر زمان فرآیندهای حساس‌سازی و فعال سازی و تأثیر دمای عملیات الکترولیس جهت ایجاد پوشش یکنواخت فلز مس بر روی ذرات سرامیکی B_4C

آنیا سمیعی^{۱*} و محمدحسین پایدار^۲

چکیده

کامپوزیت‌ها یک شاخه جدید از مواد را تشکیل می‌دهند که برای کاربردهای مکانیکی و تربیولوژیکی استفاده می‌شوند. از جمله این مواد می‌توان به رسوب فلز مس بر روی ذرات سرامیکی سخت نظیر کاربید بورن (B_4C) اشاره کرد. اتصال این دو جزء ترکیبی از خواص برتر مکانیکی (ناشی از حضور B_4C) به همراه هدایت الکتریکی و هدایت حرارتی بالا (ناشی از حضور Cu) را به دنبال خواهد داشت. هدف از انجام این پژوهش، ایجاد پوششی از فلز مس بر سطح ذرات سرامیکی B_4C به روش پوشش‌دهی الکترولیس و بررسی تأثیر زمان فرآیندهای حساس و فعال سازی و اثر دمای حمام الکترولیس بر مقدار مس رسوب کرده بر سطح ذرات B_4C بوده است. زمان‌های ۳۰، ۶۰ و ۸۰ دقیقه جهت بررسی اثر زمان فرآیندهای حساس سازی و فعال‌سازی در نظر گرفته شده است. همچنین جهت بررسی اثر دمای حمام الکترولیس روی مقدار پوشش ایجاد شده بر سطح ذرات B_4C دمای‌های ۵۰، ۷۵ و ۲۵ درجه سانتی‌گراد انتخاب شدند. اثر زمان فرآیندهای حساس سازی و فعال سازی به وسیله تصاویر SEM مورد مطالعه قرار گرفته است و چگونگی تأثیر دمای حمام الکترولیس بر پوشش ایجاد شده با انجام آنالیزهای جذب اتمی (بمنظور تعیین درصد مس رسوب کرده)، XRD و SEM بررسی شده است. نتایج نشان داد که زمان بهینه جهت فرآیندهای حساس سازی و فعال سازی ۸۰ دقیقه و دمای بهینه حمام رسوب‌دهی در pH ۱۲ و زمان ۶۰ دقیقه، ۷۵ درجه سانتی‌گراد بوده است.

واژه‌های کلیدی: پوشش‌دهی الکترولیس، کاربید بورن، پوشش مس

^۱- دانشجوی کارشناسی ارشد مهندسی مواد دانشگاه شیراز، ایران

^۲- استاد بخش مهندسی مواد دانشگاه شیراز، ایران

*- نویسنده مسئول مقاله: anyasamiei@yahoo.com

بهبود قابلیت پراکنندگی و پیوند ذرات مؤثر باشد [۳].
الکترولوس مس اولین بار در اواسط دهه ۱۹۵۰ جهت پوشش دهی بردهای مدار چاپی گزارش شد. علت انتخاب مس به عنوان ماده‌ی زمینه خواص برتر نظری چکش خواری بالا و هدایت الکتریکی و گرمایی بالا می‌باشد. بنابراین، جایی که رسانایی الکتریکی و حرارتی بهمراه بهبود خواص مکانیکی مدنظر است مس به عنوان یک فاز عالی عمل خواهد کرد [۱۵-۱۱]. مطالعات در خصوص ایجاد پوشش‌های فلزی بر روی ذرات B_4C به روش الکترولوس محدود می‌باشد. از طرفی با توجه به خصوصیات منحصر به فرد B_4C ، بکارگیری آن در ساخت کامپوزیت‌های زمینه فلزی رو به گسترش است. همچنین با توجه به خصوصیات مطلوب فلز مس، استفاده از این فلز در ایجاد کامپوزیت $Cu-B_4C$ می‌تواند بسیار کاربردی و مورد توجه باشد. با توجه به این مطالعه هدف از انجام این پژوهش ایجاد پوشش فلزی مس بر سطح ذرات سرامیکی B_4C به روش الکترولوس و بررسی اثر زمان فرآیندهای حساس سازی و فعال سازی و همچنین بررسی تاثیر دمای حمام الکترولوس بر مقدار مس رسوب کرده بر سطح ذرات B_4C می‌باشد. مطالعه بر روی اثر زمان فرآیندهای حساس و فعال سازی با استفاده از تصاویر SEM صورت گرفته است و اثر دمای حمام الکترولوس به روش‌های آنالیز جذب اتمی، XRD و SEM بررسی شده است.

روش پژوهش

شستشو و آماده سازی ذرات B_4C

در این آزمایش از ذرات B_4C صنعتی با اندازه میانگین ۴ میکرون و خلوص ۹۹ درصد ساخت چین استفاده شد. بمنظور پاکسازی یکنواخت ذرات B_4C براساس مطالعات انجام شده از استون و آب مقطر استفاده شد و جهت تعقیق پودرها در استون و شستشوی موثرتر از حمام آتراسونیک استفاده گردید [۱۰ و ۴]. خشک کردن ذرات در آون در دمای زیر ۳۰۰ درجه سانتی گراد (بمنظور جلوگیری از اکسید شدن) و برای مدت ۳ ساعت صورت گرفت [۴].

پیشگفتار

کامپوزیت‌های زمینه فلزی امروزه در کاربردهای مهندسی مقام نخست مواد ساختاری را دارا می‌باشند. بعضی از این کامپوزیت‌ها که در آنها ذرات سرامیکی سخت در یک زمینه فلزی نسبتاً نرم (چکش خوار) توزیع شده‌اند، ترکیبی از خواص برتر نظری مدول الاستیسیته بالا، استحکام مخصوص بالا، ضریب انبساط حرارتی مناسب و مقاومت سایشی را دارا می‌باشند. بخصوص در کامپوزیت‌های حاوی ذرات تقویت شده سرامیکی خواص مکانیکی در دمای بالا و مقاومت سایشی بدون کاهش هدایت الکتریکی و حرارتی به صورت بارزی بهبود می‌یابد [۲۱]. کاربید بورن (B_4C) دارای پتانسیل بالایی جهت بکارگیری بعنوان تقویت کننده در ساخت مواد کامپوزیتی به جهت ایجاد سختی بالا ($3900-3900 \text{ kgf/mm}^2$)، خواص عالی الکتریکی و حرارتی در کنار چگالی کم ($2/52 \text{ g/cm}^3$)، نقطه ذوب بالا (448 Gpa) و میل ترکیبی کم می‌باشد. این مشخصه‌های واحد در دمای اتاق و دمای بالا سبب نمادین شدن B_4C به عنوان ماده کلیدی برای کاربردهای فناوری پیشرفته نظری مولدهای انرژی در کاربردهای فضایی، میکروالکترونیک، پیشکسی، نازل‌های سندبلاست و وسایل ترموالکتریک دما بالا شده است [۳ و ۴]. کاربید بورن همچنین در تقویت کامپوزیت‌های زمینه فلزی بمنظور افزایش مقاومت سایشی و خوردگی کاربرد بسیاری دارد. اما این کاربرد به عنوان تقویت کننده به جهت ضعف در ترشوندگی که در ایجاد اتصال قابل قبول بین زمینه و ذرات تقویت کننده عامل مهمی است دارای محدودیت می‌باشد [۳ و ۴]. با اعمال پوشش فلزی بر روی ذرات سرامیکی B_4C می‌توان بر این مشکلات فائق گردید. در بین روش‌های پوشش‌دهی روش الکترولوس مؤثرترین روش شناخته شده و بیشترین بازده را به خود اختصاص داده است [۷-۴]. این روش به عنوان ساده‌ترین روش در ایجاد پوششی یکنواخت با کمترین تخلخل و بیشترین مقاومت به خوردگی در ساخت پوشش‌های فلزی و کامپوزیتی بر روی مواد گوناگون شناخته شده است [۳، ۸، ۹ و ۱۰]. پوشش فلزی به وسیله الکترولوس با فلزاتی نظری Sn, Ag, Ni, Cu می‌تواند در

هیدروکسید سدیم (25g/l) (جهت ثبیت pH حمام در محدوده $12/12/3$ تا $12/3$) و (30ml/l) فرمالدئید تهیه شدند. فرآیند پوشش دهی ذرات حساس و فعال شده در حمام‌های الکترولیس با ترکیبات یکسان و در دماهای گوناگون 25.5°C و 75°C درجه سانتی‌گراد مطابق با تحقیقات انجام شده [۴]، صورت پذیرفت. پس از انجام عملیات پوشش‌دهی، ذرات B_4C کاملاً با آب مقطر شسته شده و در دمای 100°C درجه سانتی‌گراد و به مدت 2 ساعت در آون خشک شدند [۳]. همچنین جهت تعلیق پودرها در حمام الکترولیس از همزن مغناطیسی استفاده گردید. در این آزمایش بمنظور تعیین درصد مس رسوبر کرده بر سطح ذرات B_4C در شرایط دمایی گوناگون از روش آنالیز کمی جذب اتمی استفاده شد. جهت انجام این آنالیز میزان 0.1 g از پودرهای B_4C با پوشش مس به 10 ml/l لیتر اسید نیتریک 98% درصد افزوده شدند. سپس مس رسوبر کرده بر سطح ذرات B_4C خیلی سریع در اسید نیتریک حل شده و از ذرات B_4C جدا شد. در ادامه ذرات B_4C را به کمک کاغذ صافی از محلول جدا کرده و محلول به حجم یک لیتر رسانیده شد و در انتهای آنالیز جذب اتمی با استفاده از دستگاه مدل Philips-PU9100x انجام پذیرفت. همچنین جهت بررسی تصویری سطح پودرهای SEM پوشش گرفته از میکروسکوپ الکترونی مدل oxford LEO 440 استفاده گردید و نیز بمنظور دستیابی به ساختار و ترکیب تقریبی پوشش‌های ایجاد شده آنالیز XRD با دستگاه مدل Bruker D8 advance diffractometer بروی نمونه‌ها صورت گرفت.

نتایج و بحث

بررسی تاثیر زمان فرآیندهای حساس‌سازی و فعال‌سازی

تصاویر SEM پودرهای B_4C پوشش مس گرفته که زمان فرآیند حساس‌سازی و فعال‌سازی متفاوتی داشتند، مورد بررسی قرار گرفتند. نتایج بررسی‌ها حاکی از افزایش مقدار مس رسوبر کرده بر سطح ذرات B_4C به ازای افزایش در زمان فرآیندهای حساس‌سازی و فعال‌سازی می‌باشد. همانگونه که در شکل (۱) نمایان است

بررسی اثر زمان فرآیندهای حساس‌سازی و فعال‌سازی

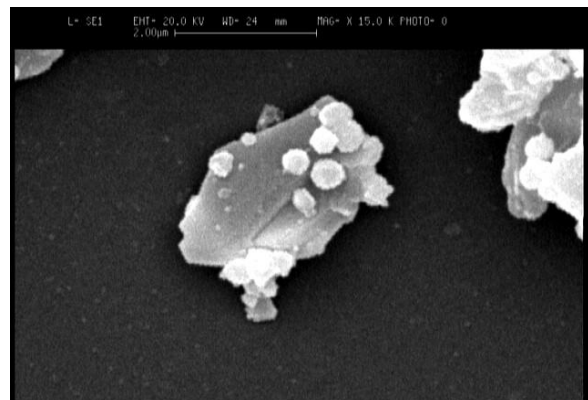
بمنظور بررسی اثر زمان فرآیند حساس‌سازی و فعال‌سازی محلول‌هایی از (14g/l , 40ml/l) SnCl_2/HCl جهت حساس‌سازی و (0.2g/l / 4ml/l) PdCl_2/HCl است HCl مورد استفاده در هر دو محلول 37% وزنی بوده است. ذرات B_4C شسته شده ابتدا وارد محلول‌های حساس‌سازی با ترکیبات یکسان شدند و زمان‌های 30°C ، 60°C و 80°C دقيقه بمنظور حساس‌سازی ذرات انتخاب گردید. پس از آن ذرات حساس شده در زمان‌های گوناگون، وارد محلول‌های فعال سازی با ترکیبات یکسان شدند. در مرحله فعال‌سازی نیز زمان‌های 30°C ، 60°C و 80°C دقيقه بمنظور فعال‌سازی ذرات در نظر گرفته شد. در طی فرآیند حساس‌سازی و فعال‌سازی جهت تعلیق پودرها از هم زن مغناطیسی با سرعت 280 دور در دقیقه استفاده شد. لازم به توضیح است که هم زدن یکنواخت و با سرعت مناسب محلول در تمامی مراحل پوشش دهی الکترولیس در تعیین سرعت انجام فرآیند تاثیرگذار است [۱۶]. تاثیر زمان فرآیند حساس‌سازی و فعال‌سازی بر مقدار پوشش مس ایجاد شده با بررسی تصاویر SEM نمونه‌های حساس و فعال شده در زمان‌های گوناگون که همگی در حمام‌های الکترولیس با ترکیب یکسان و $\text{pH} 12$ بودند شامل سولفات‌های 15 g/l ، پتاسیم سدیم تارتارات (36 g/l), فرمالدئید (12 ml/l) و هیدروکسید سدیم (10 g/l) مورد مطالعه قرار گرفت. از آنجایی که نتایج آزمایش Deepa و همکارانش نشان داد که یکنواختی پوشش مس ایجاد شده در شرایطی که دمای حمام رسوبر دهی 50°C درجه سانتی‌گراد بوده افزایش یافته است [۴]، دمای 50°C درجه سانتی‌گراد بمنظور پوشش دهی انتخاب گردید.

بررسی اثر دمای فرآیند پوشش دهی الکترولیس

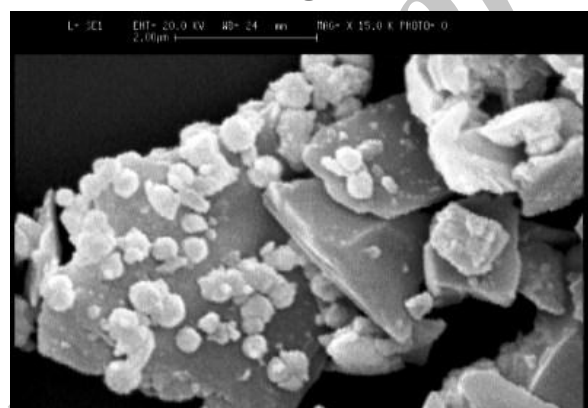
بمنظور پوشش دهی، پودرهای حساس و فعال شده B_4C ، به حمام الکترولیس منتقل شدند. حمام‌های الکترولیس شامل سولفات‌های 166 g/l آبدار ($\text{CuSO}_4 \cdot 5\text{H}_2\text{O}$) با غلظت ($33/3\text{ g/l}$), پتاسیم سدیم تارتارات ($166/6\text{ g/l}$),

فلز پالادیوم بر روی سطوح افزایش می یابد. از طرف دیگر، با توجه به اینکه رسوب کامل یون های پالادیم و احیا شدن یون های پالادیم به صرف زمان نیاز دارد، لذا از دیدار زمان فعال سازی، مقدار جذب و احیا شدن پالادیوم را بر روی سطح پودرها افزایش می دهد در نتیجه جوانه های فلزی برای نشستن مس بر روی آنها بیشتر می شود [۱۷].

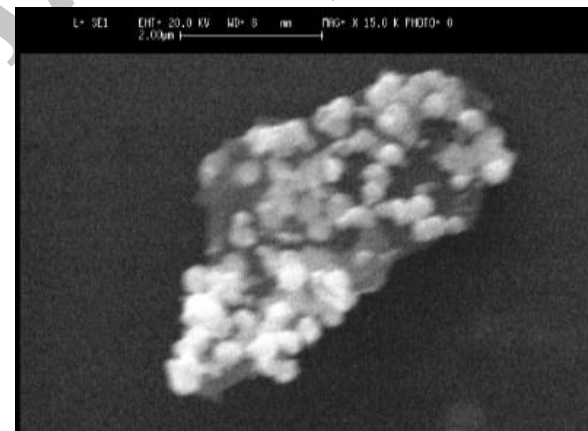
زمان ۳۰ دقیقه بمنظور حساس سازی و فعال سازی ذرات B_4C کافی نبوده و مقدار مس رسوب کرده بسیار ناچیز است و با افزایش زمان فرآیند حساس سازی و فعال سازی به ۶۰ و ۸۰ دقیقه مقدار رسوبدهی مس افزایش چشم گیری داشته است. این نتایج بیانگر این است که افزایش زمان حساس سازی، باعث تکمیل مرحله نشست یون های قلع بر سطح ذرات شده و در حقیقت مکان های جوانه زنی



الف



ب



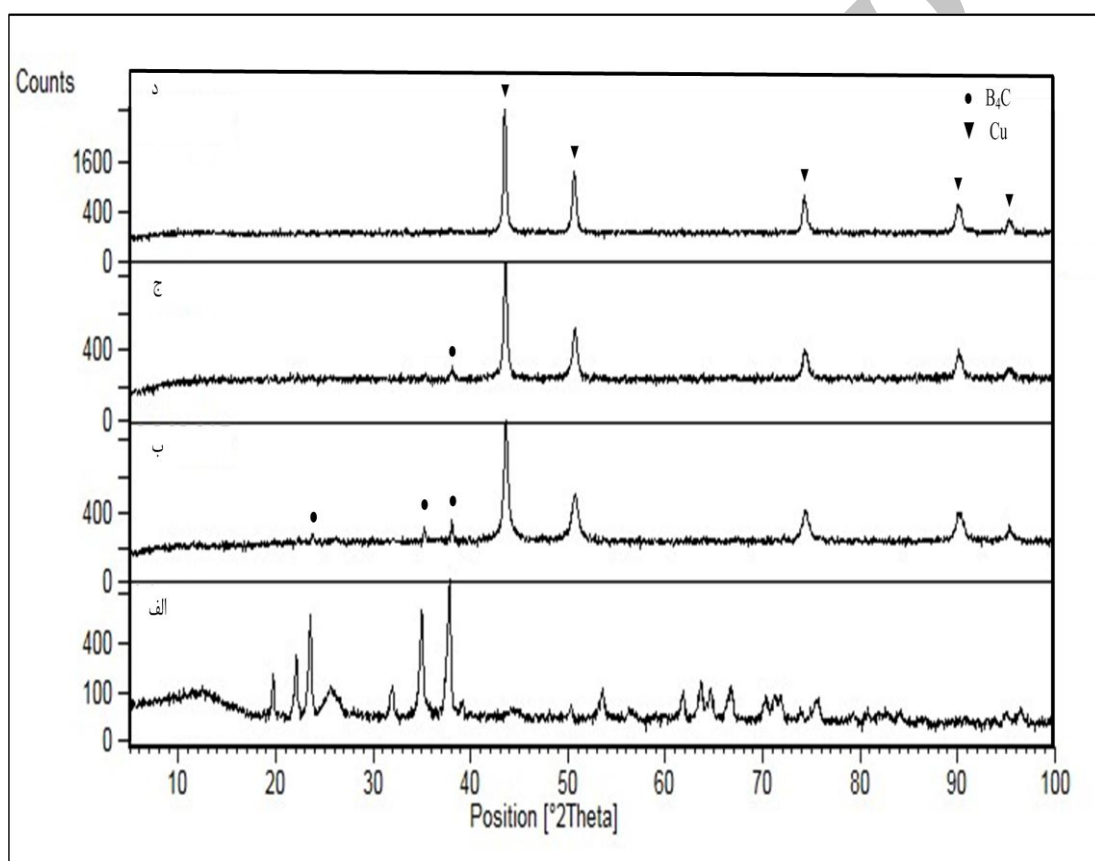
ج

شکل ۱- تصاویر SEM پوشش مس بر روی ذرات B_4C در زمان های گوناگون فرآیند حساس سازی و فعال سازی
 (الف) زمان ۳۰ دقیقه (ب) زمان ۶۰ دقیقه (ج) زمان ۸۰ دقیقه

نمایان است با افزایش دما شدت پیک‌های مربوط به ماده-ی زمینه کاهش یافته است به‌گونه‌ای که در دمای ۷۵ درجه سانتی‌گراد پیک مربوط به ماده زمینه روی نمودار XRD مشخص نیست. با توجه به کیفی بودن آنالیز XRD عدم تشخیص پیک‌های B_4C (با در نظر گرفتن بدیهی بودن حضور B_4C) می‌تواند بیانگر افزایش مقدار پوشش مس و یکنواختی آن باشد. جهت اطمینان از نتایج این بررسی آنالیزهای جذب اتمی و SEM نیز انجام پذیرفتند.

بررسی تاثیر دمای حمام الکتروولس بر مقدار پوشش-XRD دهی به کمک آنالیز

پودرهای حساس و فعال شده B_4C که در حمام‌های الکتروولس با ترکیبات کاملاً یکسان و دماهای گوناگون ۲۵، ۵۰ و ۷۵ درجه سانتی‌گراد پوشش گرفته بودند، جهت تعیین مقدار تقریبی پوشش ایجاد شده، مورد آنالیز XRD قرار گرفتند. آنالیز XRD حضور مس را بر سطح ذرات B_4C تأیید کرده است. نتایج بدست آمده از این آنالیز در شکل (۲) آورده شده است. همان‌گونه که در شکل‌ها



شکل ۲- (الف) طیف XRD مربوط به B_4C شسته شده

ب) طیف XRD مربوط به B_4C پوشش گرفته در حمام الکتروولس با دمای ۲۵ درجه سانتی‌گراد

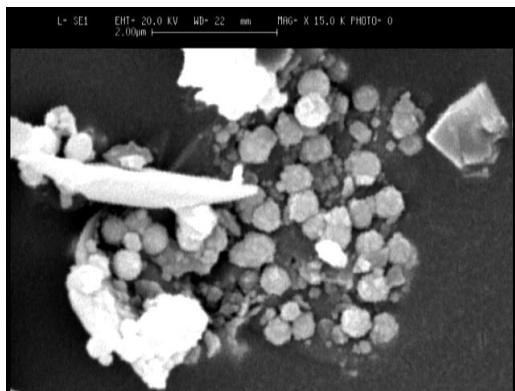
ج) طیف XRD مربوط به B_4C پوشش گرفته در حمام الکتروولس با دمای ۵۰ درجه سانتی‌گراد

د) طیف XRD مربوط به B_4C پوشش گرفته در حمام الکتروولس با دمای ۷۵ درجه سانتی‌گراد

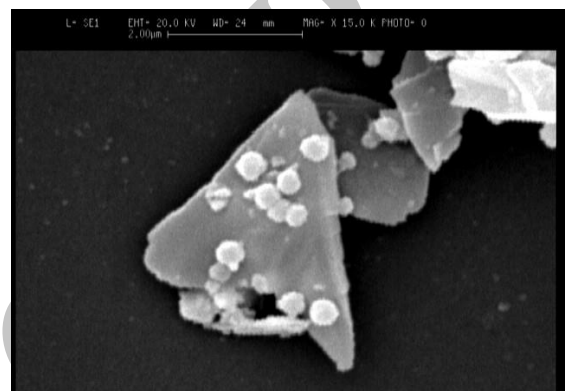
سطح ذرات B_4C رسوب کرده و منطبق با نتایج حاصل از آنالیز XRD است. این نتایج مشابه با نتایج دیگر محققان [۴]، نشان می دهد که با افزایش دماهای فرآیند الکتروولس، مقدار مس رسوب کرده بر سطح ذرات B_4C افزایش یافته است. در واقع بالا رفتن دما سبب افزایش و تسريع احیاء یون های مس و اکسید شدن فرمالدئید شده است و نهایتا قرار گرفتن فلز مس بر سطح فعال شده ذرات B_4C را به دنبال داشته است [۴].

بررسی تاثیر دمای حمام الکتروولس با استفاده از تصاویر بدست آمده از میکروسکوپ الکترونی (SEM)

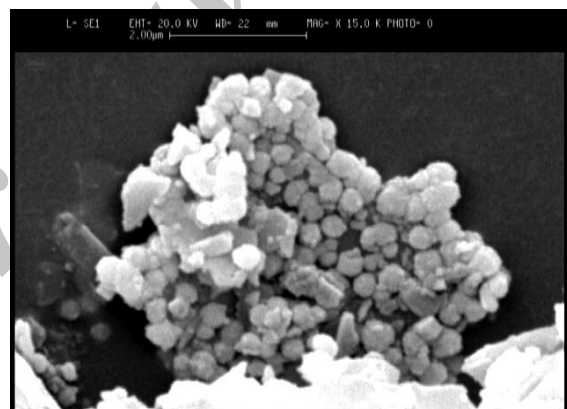
چگونگی تأثیر دما بر مقدار پوشش ایجاد شده بر سطح ذرات سرامیکی به کمک تصاویر بدست آمده از میکروسکوپ الکترونی نیز مورد بررسی قرار گرفت. شکل (۳) تصاویر بدست آمده از نمونه های پوشش گرفته در شرایط دمایی گوناگون را نشان می دهد. مشاهدات حاکی از حضور ذرات مس می باشد که به صورت کروی بر روی



ب



الف



ج

شکل ۳- تصاویر SEM پوشش مس بر روی ذرات B_4C در دماهای گوناگون حمام رسوب دهنده
الف) دما ۲۵ درجه سانتی گراد (ب) دما ۵۰ درجه سانتی گراد (ج) دما ۷۵ درجه سانتی گراد
و در زمان ثابت رسوب دهی ۶۰ دقیقه

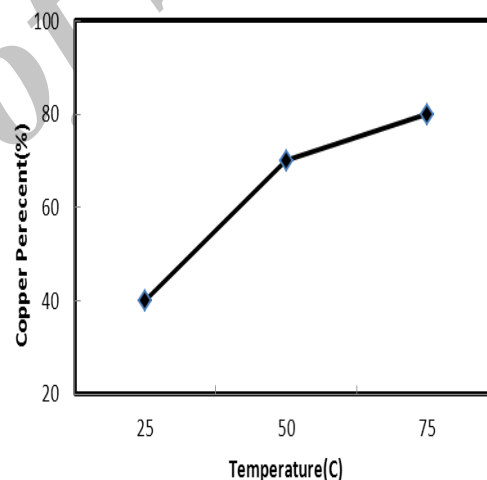
الکتروولس از قبیل دما، pH و ترکیب شیمیایی تأثیر مستقیم بر مقدار و یکنواختی پوشش ایجاد شده دارد. بررسی تصاویر SEM نشان داد با افزایش زمان فرآیندهای حساس و فعال سازی مقدار پوشش ایجاد شده به صورت چشمگیری افزایش یافته است، این افزایش بیانگر تکمیل مرحله نشست یون های قلع بر سطح ذرات B_4C و به دنبال آن افزایش جذب و احیا شدن پالادیم بر سطح این ذرات می باشد که نهایتاً باعث افزایش مقدار رسوب مس بر سطح ذرات B_4C می گردد. همچنین نتایج حاصل از بررسی های SEM، XRD و جذب اتمی اثر افزاینده از دیدار دما را بر مقدار و سرعت رسوب دهی مس نشان داد. بر اساس نتایج حاصل از این پژوهش و مطالعات صورت گرفته [۴]، دما به عنوان یک عامل تسریع کننده واکنش اکسیداسیون فرمالدئید و احیاء شدن یون فلزی عمل می کند و سرعت و مقدار پوشش مس ایجاد شده بر سطح ذرات سرامیکی با دما ارتباط مستقیم دارد.

References

1. S. L. Zhu, L. Tang, Z. D. Cui, Q. Wei, and X. J. Yang, "Preparation of copper – coated β - Sic nanoparticles by electroless plating," Surface & Coating Technology 205 (2011) 2985-2988.
2. Kuen-Ming Shu, and G.C. Tu, "The microstructure and the thermal expansion characteristics of Cu/Sic composites." Materials Science and Engineering A349 (2003) 236-247.
3. J. P. Deepa, V. G. Resmi, T. P. D. Rajan, and C. Pavithran, "Studies on the influence of surface pre- treatment on electroless copper coating of boron carbide particles." Applied surface Science 257(2011) 7466-7474.
4. J. P. Deepa, V. G. Resmi, T. PD. Rajan, C. Pavithran and B. C. Pai, "Studies on the effect of processing parameters on electroless coating of copper on boron carbide particles," Transactions of the Indian Institute of Metals Vol. 64 (2011), pp. 47-51.
5. [5] Ruizhang, LianGao, JinkunGuo, "preparation and characterization of Coated nanoscale cu/sic composite Particles" (2004), pp. 401-404.

مقایسه اثر دما بر مقدار پوشش ایجاد شده به روش آنالیز جذب اتمی

بمنظور تأیید نتایج حاصل از بررسی های قبلی، آنالیز کمی جذب اتمی^۱ بر روی نمونه های پوشش گرفته در دمای های گوناگون انجام پذیرفت. اثر افزایش دمای حمام پوشش دهی بر مقدار درصد مس رسوب کرده در شکل (۴) آورده شده است. نتایج حاصل به صورت واضح افزایش درصد مس رسوب کرده در اثر افزایش دمای فرآیند الکتروولس را آشکار می سازد که تکمیل کننده نتایج بدست آمده از آنالیز انجام شده به وسیله میکروسکوپ الکترونی و XRD می باشد. همان گونه که انتظار می رفت و مطابق با مطالعات محققان دیگر [۴]، همه نتایج بیانگر اثر افزایش دما به عنوان عامل مهمی در تسریع و انجام کامل واکنش های احیای یون فلزی و نیز افزایش مقدار رسوب دهی در فرآیند الکتروولس می باشند.



شکل ۴- نتایج به دست آمده از آنالیز جذب اتمی که تأثیر دما را در مقدار مس رسوب کرده بر سطح ذرات B_4C در $pH=12$ و زمان ۶ دقیقه نشان می دهد.

نتیجه گیری

در فرآیند پوشش دهی الکتروولس، مراحل حساس- سازی و فعال سازی از اهمیت بسیار بالایی برخوردارند، به گونه ای که اگر این مراحل با موفقیت انجام نشوند پوشش ایجاد نخواهد شد. علاوه بر این شرایط حمام

^۱- Atomic Absorbtion

- carbide (SiC) and graphite (C) particles," Surface & coating Technology (2011) 1-10.
12. W. Sha, X. Wa, and K.G. Keng, Electroless copper and nickel – phosphorus plating, processing, characterization and modeling, woodhead publishing limited, USA, 2011.
 13. S. G. Sapate, A. Uttarwar, and R. C. Rathod, "Analyzing dry sliding wear behaviour of copper matrix composites reinforced with pre- coated sic particles," Materials and Design 30 (2009) 376-386.
 14. K. Dash, B. C. Ray, and D. chaira, "Synthesis and characterization of copper – alumina metal matrix composite by conventional and spark plasma sintering." Journal of Alloys and compounds 516 (2012) 78-84.
 15. Yongzhong Zhan, Guoding Zhang, "The effect of interfacial modifying on the mechanical and wear properties of Sic/ Cu composites," Materials Letters 57 (2003) 4583-4591.
 16. Wolfgang Riedel ,Electroless Nickel plating ,Finishing publications LTD. England ,1991.
 17. R.L.Meek "Study of electroless Cu plating." J. Electrochem. Soc.,pp.1978-1981, November 1975
 6. Lamia Luo, Yucheng Wu, Jian Li, and YachanZheng, "Preparation of nickel – coated tungsten carbide powders by room temperature ultrasonic – assisted electroless plating," Surface & coatingTechnology (2011), pp.1-5.
 7. Vijaya Kumar Bulasara, Hariyoti Thakuria, Ramgopalappaluri, Mihirkumarpurkait, "Effect of process parameters on electroless plating and nickel – ceramic composite membrane characteristics," Desalination (2011)195-203.
 8. J. F. Silvain, J. L. Bobet, and J. M. Heintz, "Electroless deposition of copper onto alumina sub-micronic powders and sintering," Composites: Part A 33 (2002) 1387 – 1390.
 9. A. Grosjean, M. Rezazi, J. Jakadoum, and P. Bercot, "Hardness, friction and wear characteristics of nickel – SiCelectroless composite deposite," Surface and coating Technology 137 (2001) 92-96.
 10. Haijun Zhang, Xiangwei Wu, QualiJia, XiaolinJia, "preparation and microwave properties of Ni-Sic ultrafine powder by electroless plating," Materials and Design 28 (2007) 1369-1373.
 11. Soheila Faraji, AfidahAbelulRehim, "A study of electroless copper – phosphorus coatings with the addition of silicon